

## 多角形領域の Stokes 問題の数値解法

東大 生研 金子幸臣

## §1 序

数値計算を労力の点からみると、差分法（定差法、有限要素法など）は、その精度が  $O(h^K)$  の形になる。（ここに  $h$  は Mesh の大きさの代表）。取り扱う Mesh 数を  $N$  とすると、 $m$  次元で、 $N = O(h^m)$ 、従って、精度は  $O(N^{-\frac{K}{m}})$  ということになる。さらに、問題は  $N$  個の変数の連立方程式となるので計算量  $Q = N^\alpha$ 、（ $\alpha$  は一次方程式の消去法なら  $\alpha=3$ 、2 次元 Laplace 方程式の定差法に対する SOR なら、 $\alpha=1.5$  etc.）精度は  $O(Q^{-\frac{K}{m\alpha}})$  となる。（2 次元 Laplace 方程式の中心差分化で SOR とするとき、 $K=2$ 、 $m=2$ 、 $\alpha=1.5$ 、打切り誤差  $E = O(Q^{-\frac{2}{3}})$  即ち、1 行改良するには、30 倍の労力を要する。これは打切り誤差であるて、Global な真の誤差は、一般的な見通しのよき結果はないので、要するに数値計算では、何が得られたか分らないとか、桁数が多い計算は非常に無駄で

あるとかの“哲学”を生じた。そもそも差分法は、非常に一般的な問題（L<sub>2</sub>理論と同じくらい）に対して考えられたもので、そこでは、精度と労力の関係はあまり改善されることが望めないのはやむを得ない。実用家の立場からは、（次元で）長さのあるかどうかわからない境界などは除外として、いたるところ解析的でない境界条件や外力といふ問題は、かえって珍らしい、というよりは、無理して解かなくてはよい問題であって、境界も、境界値も、外力も、断片的に解析的な問題にかぎり、ても、問題の本質を失うことのないのが普通である。そのようなときには、精度と労力の関係が、格段により方法があり得るのであって、実際、Navier Stokes 方程式や、その漸近方程式である Stokes 方程式に対する、粘着条件での問題などについてはそれができる。

ここでは 考え方の説明のため、簡単な多角形領域内の Stokes 問題をとりあげる。定義方程式の理論によると、補内型方程式の性質から、境界条件は、任意の精度の計算に対しても、やれど応じた適当な並んで有限個の境界上の点での値を指定することできかえ得る。数値計算でも、境界上の値を適当な関数系での展開の係数の列で与えたなどのほかに、境界上のほう等間隔に並んだ代表点の上での値を指定することでもよい。この場合、目的とする値の計算に対して、代表

点の選い方が適當であると、点の数の2倍の数の展開係数を指定したのと同じ効果さえ出せるといふのは、Gaußの数値積分公式の例もある。さらに、外力が解析的(外力なしならよい)のとき、解は任意の点で解析的、即ち十分近く収束する級数に展開される。またとえば、ある点を中心円板を考え、その中に特異点(あるとすれば当然境界上又はその外)がないとき、円内で収束する整ベキ級数で表わされる。従って最も近い特異点より十分小さな半径の円内では非常に速く収束する。明らかに精度は  $O(\rho^n)$  形で与えられ、項数したがって外力の指數実数的である。同様に、境界が内と外の接するときには比較的簡単な実数系による急速に収束する展開が可能である。特に直線と直線の交点に関しては、非整数ベキ級数展開でそのようなものが作れる。そこへ現われる実数系を仮に Moffatt 実数などとよぶことにする。

さて、与えられた領域以上のような、急速に収束する展開可能な部分領域によって覆われたものとする。たとえば、多角形領域では、展開の中心が、内点または直線境界上にあるときは、整ベキ展開、角上にあるときは Moffatt 展開といい。このとき、適当な有限個を選んで固定すればよい。つまり、精度を上げるには、各部分領域内の展開係数を増加するだけで、分割の直しをしない、従って、いわゆる有限要素法

のように、結局無限個の要素に分割するものと本質的に違ひない、も、と対称性のよい問題の、いわゆる Matching 法と近い。各部分領域では、その境界(部分領域の)上に、精度に応じた数  $N$  個だけ、ほぼ等間隔に代表点をとる。境界条件に現われる関係式に解の展開形の  $2N$  項で切ったものを代入し、代表点の座標と、そこにおける(流山の因数と渦度の)値を代入する。これを展開係数に関する連立方程式と考えると、代表点がはるか等間隔になると、あることによつて、この方程式は常に解けて、 $N \rightarrow \infty$  のとき、もとの境界値問題の解になるのは、差分方程式の理論の示唆するところである。与えられた領域がこのように簡単な部分領域によつて覆われていて、各部分領域の境界はすべて、あいだの領域のどちらかの十分内部にあるようになつてゐるとき、今の場合、最大値の原理より、強い惟特性があり、いわゆる Schwarz の方法か使って、繰り返し法により global な問題の解が得られる。(Nonlinear のときは少しあずからくなるが、十分とい出発値からはじまれば可能であろう) それは一種の逐次代入法で、部分領域に cyclic な番号をつけ、次に各部分領域の境界値を、番号の若い向きに一番近い領域内の点として定め、境界値問題を解く。これと番号順に行う。番号のつけ方は、強く重り合、二領域はなるべく近く番号にならうにするのがよい。この逐次代

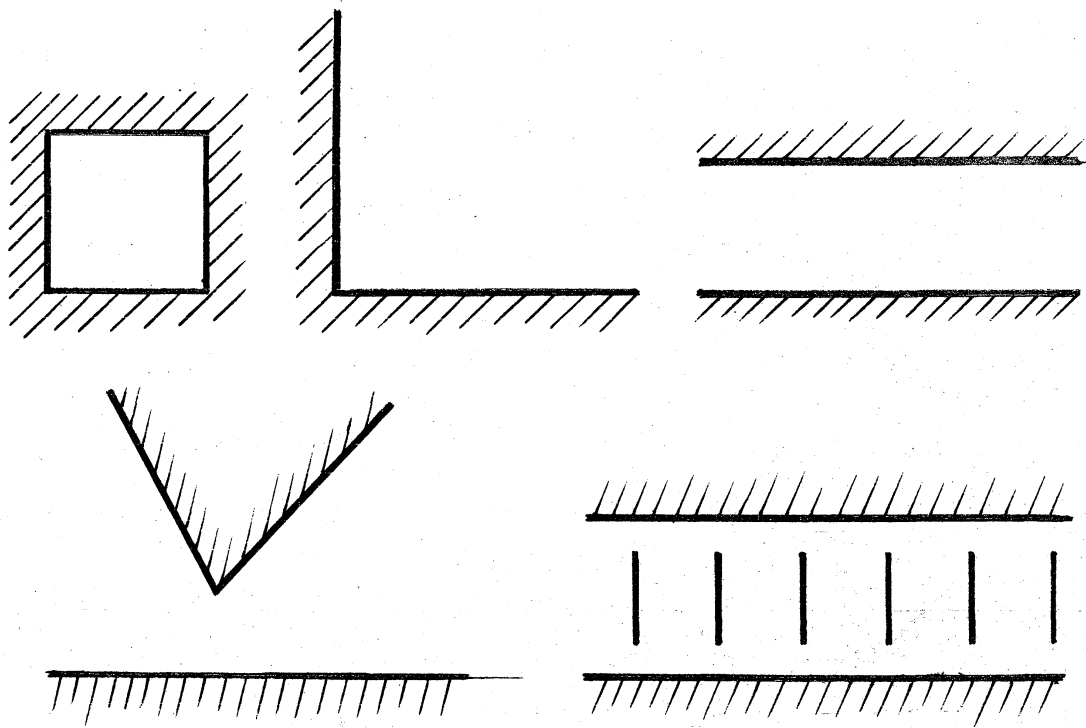
入法の収束の速さは、主に各部分領域における ~~展開関数系~~ 展開関数系の低次の関数の性質によつてつまり、部分領域の重なりの深さほど速い。また分割の細いほど速い。しかし、展開級数そのものの収束は細かいほど速い。

注意 展開係数そのものは、もちろん、各々は収束するが、収束半径で規格化しないと  $N \rightarrow \infty$  のときを考えるのはまともないが、部分領域内の点（隣といふより後の番号の領域の境界値とて必要な）での値を考えれば、期待通り、 $N$  の指数的収束する。また、部分領域の境界上の点での値の組みから内部の必要な点での値の組を与える行列は性質のよいものである、 $N \rightarrow \infty$  に対して悪くならない。この行列を作るとときも、上の展開係数を通じて作ると、特に問題なく作れる。

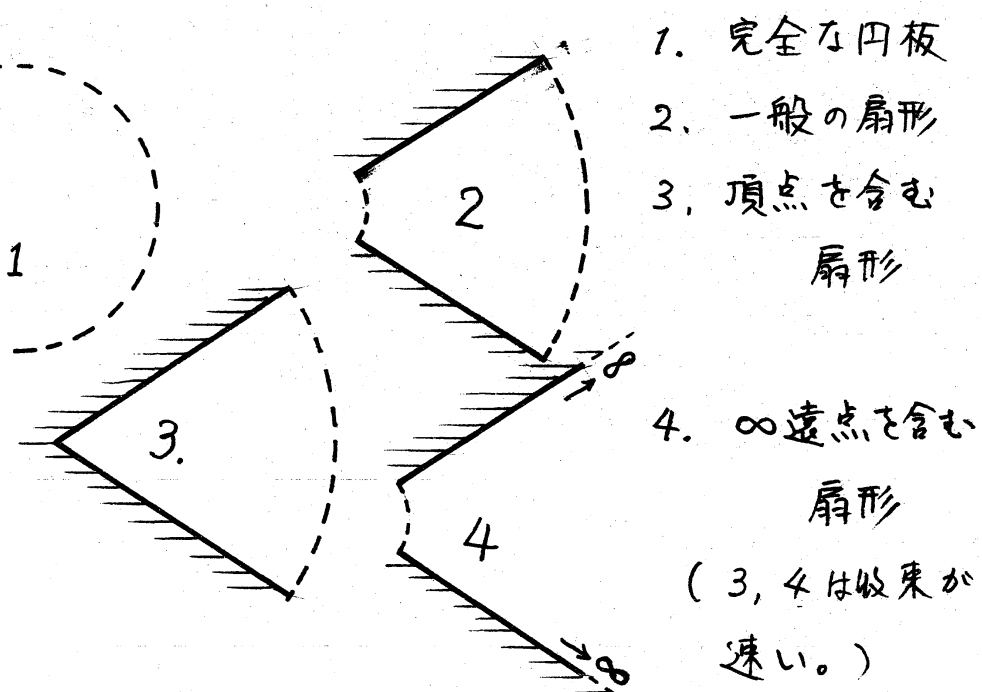
## §2 簡単な多角形とその分割

問題の基本が扇形なので、簡単な多角形とは次のようなものがある。

1. 本当に辺の数の少ないもの。その内部または外部
2. 正多角形のように対称性のよいもの。
3. 平行な壁の間の無限領域
4. (3)の中に周期的に多角形、特に線分などかかわらぬもの等々、図のようなものである。

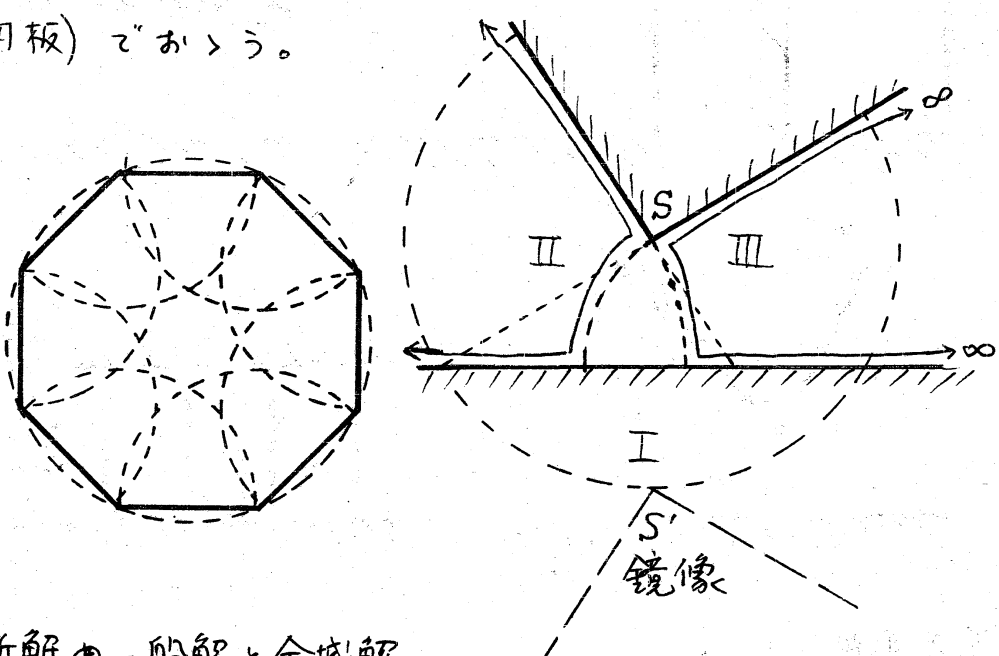


### 基本領域



## 分割の例

(内部又は辺内)に(頂点又はその鏡像点)をもつない(扇形又は円板)である。



## 局所解の一般解と全域解

上の左図で、 $S$ を頂点とし、半径 $SS'$ の頂点を含む扇形を第一域、頂点を含まないかの直線を含む領域、II、IIIで  
~~は~~は覆われると、各領域での展開を

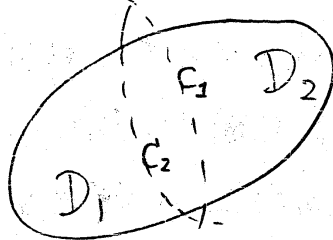
$$\Psi_I = \sum_{n=0}^{\infty} a_n^I e^{I_n P_x} \Psi_n^I(O_x) \quad , \quad P_I \text{ は } S \text{ からの距離 } r \text{ の対数}$$

$$\Psi_{II} = \sum_{n=0}^{\infty} a_n^{II} e^{-\lambda_n^{II} P_{II}} \psi_n^{II}(\theta_{II}) \quad \theta_{II} \text{ は } S \text{ からの方向の角度}$$

$$\psi_{\text{III}} = \sum_{n=0}^{\infty} a_n^{\text{III}} e^{-\lambda_n^{\text{III}} P_{\text{III}}} \psi_n^{\text{III}}(O_{\text{III}}) \quad (\text{適当な方向を基準にとる})$$

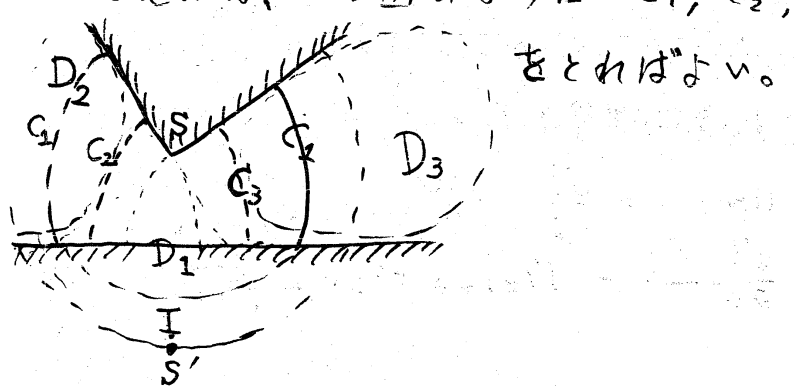
と表わしたとき、三つの実数が互いの解軌道長になる、といふように、 $\{a_n^I\}$ ,  $\{a_n^{II}\}$ ,  $\{a_n^{III}\}$ をきめれば、問題は解けてこととなる。但し、 $\psi_0^I$ ,  $\psi_0^{II}$ ,  $\psi_0^{III}$ は境界条件を満すもの、 $\psi_1^I$ ,  $\psi_2^I$ , ...,  $\psi_1^{II}$ ,  $\psi_2^{II}$ , ... はいわゆる Moffatt の実数である。

### § 3 Schwartz の方法



図のような領域  $D$  における境界値問題を考える。 $D$  が 2 つの部分領域  $D_1, D_2$  で覆われているとする、その境界  $C_1, C_2$  は夫々他の領域の完全内部にあるとする。また、 $D$  の境界条件は満たし、かつ  $C_1$  上では任意の条件を満たす解がいくつも作られる

とし、 $D_2$ についても同様とする。方程式が、橋内型、線形であるので、 $D_2$ に関する解は、 $C_2$ 上の値の変動の大きさ（通常の Norm を考えて）と、それによる内部の曲線  $C_2$  上での値の変動の大きさの比は 1 より小さな値より小さくなることわかる。 $D_2$ についても同じであるから、 $C_2$  上の勝手な値をえて  $D_1$ について解き、その解の  $C_2$  上の値を使、て  $D_2$ について解いたときの解の  $C_2$  上の値は、はじめての値より必ず真の値に近い。この時、誤差の減少するようすは、反復回数の幾何級数的になる。これが "Schwartz の方法" である。さて、この例について見れば、左図のように  $C_1, C_2, C_3; D_1, D_2, D_3$  をとればよい。



### 4. 局所解

前節の分解において基本となる要素として、特異点のない完全な円板(の内部)の場合と、扇形の場合とを考えればよいことがわかった。これを変数分離法の定石通りに解くのであるが、数値計算の手順の記述のための Notation の説明を兼ねて、簡単に解法を述べる。

2次元の直交座標を $(x, y)$ とすると、Stokes 近似では、流れの関数 $\Psi$ ,  $(\frac{\partial \Psi}{\partial x} = -v, \frac{\partial \Psi}{\partial y} = u, u, v$  は流速ベクトルの $x, y$ 成分)は、

$$\Delta \Delta \Psi = 0, \quad \Delta = \left( \frac{\partial^2}{\partial x^2} + \frac{\partial^2}{\partial y^2} \right)$$

を満す。複素座標 $z = x+iy$ を使うと、 $\Psi = \Psi(z, \bar{z})$ は

$$\frac{\partial^2}{\partial z^2} \frac{\partial^2}{\partial \bar{z}^2} \Psi = 0, \quad \frac{\partial}{\partial x} = \frac{\partial}{\partial z} + \frac{\partial}{\partial \bar{z}}, \quad \frac{\partial}{\partial y} = i \left( \frac{\partial}{\partial z} - \frac{\partial}{\partial \bar{z}} \right)$$

を満すことである。従って一般解として

$\Psi = \operatorname{Im} F, \quad F = f(z) + \bar{z}g(z), \quad f(z), g(z)$  は正則実数を得る。 $\operatorname{Im} F$  が与えられると、 $\operatorname{Re} F$  は 実数 + 実数 $\times z \cdot \bar{z}$  を除いて一意に定まる~~であります~~より、以下のように、物理量を表わすのに必要な関数であるので、以後  $F$  を求める問題を考えてもよい。

境界条件などに現われる物理量と  $F$  及び  $f, g$  との関係は

$$\begin{aligned} \text{複素速度 } W &\triangleq u + iv = \frac{\partial \Psi}{\partial y} + i \frac{\partial \Psi}{\partial x} = z_i \frac{\partial \Psi}{\partial z} \\ &= \frac{\partial(F - \bar{F})}{\partial z} = f'(z) + \bar{z}g'(z) - \overline{g(z)} \end{aligned}$$

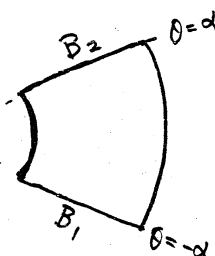
$$\text{複素速度 } \Omega = p - i\omega = 4 \frac{\partial^2 F}{\partial z \partial \bar{z}} = 4g'(z)$$

$$p: \text{圧力/粘性率}, \omega = \frac{\partial v}{\partial x} - \frac{\partial u}{\partial y} = \text{渦度}$$

円板の場合、中心を原点として、 $f(z) = \sum_{n=0}^{\infty} a_n z^n$ ,  $g(z) = \sum_{n=0}^{\infty} b_n z^n$

とすると、要素内で数値計算に耐えうる速さで収束する。

扇形の場合、変数分離法によつて解を作るのかといふ。



$\psi^B$  を  $\left\{ \begin{array}{l} \text{辺の部分での境界条件} \\ \text{内部での微分方程式} \end{array} \right\}$  を満す任意函数とすると、

残余  $\psi = \psi - \psi^B$  は

$\left\{ \begin{array}{l} \text{辺の部分では次の境界条件} \\ \text{弧の部分では } \psi - \psi^B \text{ の } \\ \text{内部では微分方程式} \end{array} \right\}$  を満す実数である。

$\psi^B$  の構成の難しさは、問題の作り方に依存する。今は簡単に易しいようになつてゐると仮定されている。

$\psi$  の弧の部分についての条件は未知であるから、可能なあらゆる場合について解けなければならぬ。

次に 辺の部分の条件として、速度が与えられているとする。このとき残余  $\psi$  に対応する複素オーテンシャルを  $F_0$  と書く。

$$F_0(z) = f(z) + \bar{z}g(z) \quad f, g \text{ は扇形内で正則}$$

$$\text{速度 } W_0(z) = f'(z) + \bar{z}g'(z) - \overline{g(z)}$$

今 一边  $B_1$ :  $z = r e^{-i\alpha}$  ( $r$ :実数) 上で

$$W_0(z) = f'(r e^{-i\alpha}) + r e^{+i\alpha} g'(r e^{-i\alpha}) - \overline{g(r e^{-i\alpha})} = 0$$

$\stackrel{z e^{+i\alpha}}{\parallel}$

即ち

$$\left. \begin{array}{l} Re(f'(z) + ze^{2i\alpha}g'(z) - g(z)) = 0 \\ Im(f'(z) + ze^{2i\alpha}g'(z) + g(z)) = 0 \end{array} \right\} \begin{array}{l} \text{on } z = re^{-i\alpha} \\ r: \text{real} \end{array}$$

よって 正則関数  $F_1(z) = i(f'(z) + ze^{2i\alpha}g'(z) - g(z))$   
 $F_2(z) = f'(z) + ze^{2i\alpha}g'(z) + g(z)$

は夫々  $B_1$  を境いて鏡像の領域まで正則に延長される。

従って  $F_2 + iF_1 = 2g(z)$  が新しい領域で正則、これ  
 より  $f'(z) = F_2 - (ze^{2i\alpha}g(z) + g(z))$  が正則、即ち  $f(z)$  が  
 正則。同様に他の辺  $B_2$  についても鏡像の原理を適用すれば  
 $B_2$  の外側に、その扇形の2つ分延長される。

再び  $B_1$  を境いて鏡像をとるとさらに2つ分延長され、以  
 下  $B_3, B_4, B_5, \dots$  と交互に鏡像をとること、毎回、その扇形の  
 2つ分づつ延長される。結局、2辺の交点のまわりのラセン  
 状の Riemann 面上に正則に延長されたことがわかる。つまり  
 3年後には極座標を境いて非常に多くの解析接続を持つことか  
 かる。そこで、極座標を経る。 $z = x+iy, \zeta = \rho+i\theta, z = e^\zeta$   
 $\rho = \log r \triangleq \log \sqrt{x^2+y^2}, \theta = \arg z, p_1 \leq \rho \leq p_2, -\alpha \leq \theta \leq \alpha$   
 一般解は  $F = f(\zeta) + e^\zeta g(\zeta)$  となる。典型的な  $\Psi^B$  は2  
 辺 ( $\theta = \pm\alpha$ ) 上で独立に条件を与えやすいものとして

i) 任意の複素数  $\mu$  [但し、 $0, \pm 1, \lambda_m : (\sin 2\alpha = \pm 1 \sin 2\alpha \text{ の根})$   
 以外のもの、 $\lambda_m$  を Moffatt の固有値といふこととする。] に対し

$$F = (H e^{\zeta} + G e^{\bar{\zeta}}) e^{\mu \zeta} \propto e^{(\mu+1)\rho}, H, G \text{ は複素数}$$

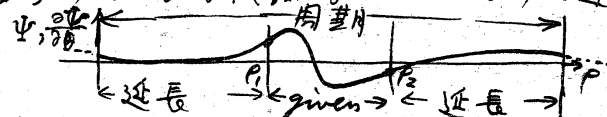
$$\text{ii) } \mu=1 : F = (H e^{\zeta} + (G+G,\zeta) e^{\bar{\zeta}}) e^{\zeta} \quad G, : \text{実数}$$

$$\text{iii) } \mu=-1 : F = ((H+H,\zeta) e^{\zeta} + G e^{\bar{\zeta}}) e^{-\zeta} \quad H, : \text{実数}$$

$$\text{iv) } \mu=0 : F = (H+H,\zeta) e^{\zeta} + (G+G,\zeta) e^{\bar{\zeta}}$$

例 1.  $|P_1|, |P_2| \neq \infty$  (素と  $\infty$  を含まない扇形) の、辺上で

両端を含めて解析的な境界条件に対しては、(i) から十分細い開閉で  $\{P_n\}$  を選んで (例えは"境界値を前後に十分長く延長することにより、 $C^\infty$  の周期函数として) Fourier 展開で表わすとき、展開係數は番号のどんな代数的 order よりも速く収束させることができた。



例 2. 辺上で速度一定、壁に平行 (流量 = 0) (Taylor)

$$(iv') \quad \Psi_S = (\alpha \sin \alpha \cos \theta - \theta \sin \theta \cos \alpha) e^{\rho} \quad \text{対称}$$

$$\Psi_A = (\alpha \cos \alpha \sin \theta - \theta \cos \theta \sin \alpha) e^{\rho} \quad \text{反対称}$$

例 3. 辺上で速度 = 0 (Hamel)

$$(iii)' \quad \Psi = \sin 2\theta - \theta \cos 2\alpha,$$

$$(\tan 2\alpha = 2\alpha \text{ かつ } \text{流量} = 0 \text{ となる})$$

次に  $\Psi$  (3 項余.) については。

$$\Delta \Delta \Psi = e^{-4\rho} \left[ \left( \frac{1}{i} \frac{\partial^2}{\partial \theta^2} + 1 \right)^2 - \left( \frac{\partial}{\partial \rho} - 1 \right)^2 \right] \underbrace{\left[ \left( \frac{1}{i} \frac{\partial^2}{\partial \theta^2} - 1 \right)^2 - \left( \frac{\partial}{\partial \rho} - 1 \right)^2 \right]}_{\rho} \Psi$$

であるが、

$$\left( T - \left( \frac{\partial}{\partial \rho} - 1 \right)^2 \right) \Psi = 0, \quad \Psi = \begin{bmatrix} \Psi \\ \varphi \end{bmatrix}, \quad T = \begin{bmatrix} \left( \frac{1}{i} \frac{\partial^2}{\partial \theta^2} - 1 \right)^2 & -1 \\ 0 & \left( \frac{1}{i} \frac{\partial^2}{\partial \theta^2} + 1 \right)^2 \end{bmatrix}$$

$$\text{変数分離} \quad \Psi = e^{(t+1)\rho} \Psi(\theta), \quad \Psi(\theta) = \begin{bmatrix} \psi(\theta) \\ \varphi(\theta) \end{bmatrix}, \quad D(T) = \{ \Psi; \Psi = \Psi(\theta=0) \} \quad \psi, \varphi \in C^2[\alpha, \alpha] \}$$

とおこうと、 $\Psi(\theta) = \Psi(\theta=0) = 0 \quad (\theta = \pm \alpha)$

$$\left\{ T - \left( \frac{\partial}{\partial p} - 1 \right)^2 \right\} \Psi = e^{(1+1)p} (T - \lambda^2 I) \Psi(0)$$

後で示すように  $\alpha$  が特別の角以外では次の完備性がわかる。

$$\left\{ \begin{array}{l} \Psi_n(\theta) = \begin{bmatrix} \psi_n(\theta) \\ \psi_n'(0) \end{bmatrix}, \lambda_n^2; (T - \lambda_n^2 I) \Psi_n(\theta) = 0, \lambda_n^2: \text{複素数}, \operatorname{Re} \lambda_n > 0, |\lambda_n| \leq \lambda_1 \\ \psi_n = \psi_n' = 0 (\theta = \pm \alpha), n = 1, 2, \dots \end{array} \right\}$$

すなはち  $L(-\alpha, \alpha)$  が完備系である。つまり、 $L(-\alpha, \alpha)$  の稠密子集合  $\chi$  があり、 $\chi$  の任意の関数  $\Psi(\theta) = \lim_{N \rightarrow \infty} \sum_{n=1}^N c_n \Psi_n(\theta)$  ( $c_n$  が定義)、 $\{\Psi_n(\theta), \lambda_n^2\}_{n=1, 2, \dots}$  が Moffat の実数系と等しい ( $\chi$  と  $L(-\alpha, \alpha)$  は Space  $\{f_n = \begin{pmatrix} 1 \\ 0 \end{pmatrix} e^{ik_n \theta} \cos \frac{\pi \theta}{2\alpha}, g_n(\theta) = \begin{pmatrix} 0 \\ 1 \end{pmatrix} e^{ik_n \theta}, k_n = \frac{n\pi}{2\alpha}\}_{n=0, \pm 1, \dots}$  により。 $k_n = \frac{n\pi}{2\alpha} \notin \{\lambda_k, \lambda_k \pm 1; (\lambda_k \sin 2\alpha = \pm \sin 2\alpha \lambda_k, \lambda_k + 0, \pm 1)\}_{k=1, 2, \dots}$ ) したがって常に  $\Psi(p, \theta)$  は

$$\Psi = e^p \sum_{n=1}^{\infty} (a_n e^{\lambda_n p} + b_n e^{-\lambda_n p}) \Psi_n(\theta) \quad (*)$$

と展開される。なぜなら、完備性から

$$p = p_1 \Rightarrow \Psi(0, p_1) = e^{p_1} \sum_{n=1}^{\infty} c_n \Psi_n(0)$$

$$p = p_2 \Rightarrow \Psi(0, p_2) = e^{p_2} \sum_{n=1}^{\infty} d_n \Psi_n(0) \quad \text{Re } \lambda_n > 0$$

と展開されるが、 $|e^{2\lambda_n p_1}| / |e^{2\lambda_n p_2}| = e^{2R(\lambda_n)(p_2 - p_1)} \neq 1$  である

$$a_n = (c_n e^{\lambda_n p_1} - d_n e^{\lambda_n p_2}) / (e^{2\lambda_n p_1} - e^{2\lambda_n p_2})$$

$$b_n = (c_n e^{-\lambda_n p_1} - d_n e^{-\lambda_n p_2}) / (e^{-2\lambda_n p_1} - e^{-2\lambda_n p_2})$$

と解くことができるからである。

特に原点を含むとき  $p_1 \rightarrow -\infty$  の速度有界  $\Rightarrow b_n = 0$   $\Psi = e^{p_2} \sum_{n=1}^{\infty} a_n e^{\lambda_n(p_2 - p_1)} \Psi_n(0)$

∞ 点  $\therefore p_2 \rightarrow +\infty$  の速度有界  $\Rightarrow a_n = 0$ ,  $\Psi = e^{p_1} \sum_{n=1}^{\infty} c_n e^{-\lambda_n(p_1 - p_2)} \Psi_n(0)$

この展開 (\*) の内点での収束の速さ。

$$\bar{e}^{-\delta} = \min \left( \frac{r}{r_s}, \frac{r}{r} \right) \quad \text{BP で } p_1 + \beta \leq p \leq p_2 - \delta$$

$|C_n|, |d_n| < R \cdot n^k \quad ((z - z_0)^{-k-1}$  の特異性以下),

ではば,  $e^{\rho} \sum_{n=1}^{\infty} (a_n e^{\lambda_n \rho} + b_n e^{-\lambda_n \rho}) \psi(\theta) = e^{\rho} \sum_{n=1}^{\infty} A_n(\rho) \psi(\theta)$

の  $|A_n| \leq R \cdot n^k |e^{\lambda_n \rho}| = R \cdot e^{-R \operatorname{Re} \lambda_n \frac{\delta}{n^k}}$

$\lambda_{2n} = \bar{\lambda}_{2n},$  (複素共役)

$$\frac{\sin 2\alpha \lambda_{2n}}{2\alpha \lambda_{2n}} = (-1)^n \frac{\sin 2\alpha}{2\alpha} \Rightarrow \operatorname{Re}(2\alpha \lambda_{2n}) \approx (n + \frac{1}{2})\pi \quad (n \rightarrow \infty)$$

$\operatorname{Re} \lambda_n \sim \frac{(n + \frac{1}{2})\pi}{2\alpha} \sim \frac{n\pi}{4\alpha}$  から、収束の速さは

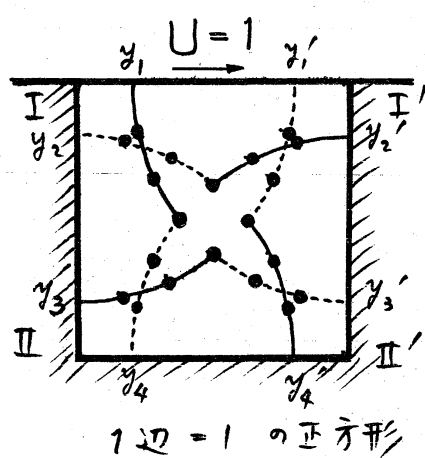
$$|A_n| \sim R \cdot n^k e^{-\frac{n\pi}{4\alpha}\delta} = R n^k \varepsilon^n, \quad \varepsilon = \left[ \min \left( \frac{r}{r_s}, \frac{r}{r} \right) \right]^{\frac{\pi}{4\alpha}}$$

とえられる。これを以後よく使う。

## §5 数値実験

例 1 よく使われる例題として、正方形（一边の長さ 1）

の容器の三辺は固定、一边は一定の速さで動いていく問題を考える。動く辺の両端では  $\psi^B$  として、例 2 を使えばよい。  
領域の分解は 4 隅から半径  $R_n = \frac{1}{2} / \sin \frac{n\pi}{2(2n+1)}$  の内領域



とて夫々要素 I, II, I', II' とする。実際には各要素  $\gamma$  の残念、  
専故で  $2 \cdot 2n$  個の Moffatt 関数の一次  
結合で代用するので、要素の縁（弧）  
上に等間隔に  $2n$  個の代表点をとる。  
 $R_n$  上のようにとると、中央の 4

点は2重点になる。各要素*j*の代表点を左左の2つの組みに分け、組の番号を*j* = 1, 2, 3, &, 1', ~4' との上での実数値流れの関数  $\psi_{ij}$ , 温度  $w_{ij}$ などをまとめ  $y_j = (\psi_{1j}, \psi_{2j}, \dots, w_{1j}, \dots, w_{mj})$   $j = 1 \sim 4, 1' \sim 4'$  とする。すなはち、

要素 I に関する基本操作は  $(y_1, y_3)$  を与え  $(y_1, y_2)$  を決める。

$$\text{「II」} \quad (y_2, y_4) \text{ を与え } (y_3, y_4) \sim$$

$$\text{「I」} \quad (y_1, y_3) \rightarrow (y_1, y_2)$$

$$\text{「II」} \quad (y_2, y_4) \rightarrow (y_3, y_4)$$

であるが、問題の対称性を考えると、まとめて、

はじめ  $(y_1, y_3, y_4)$  を仮定する。

→ 対称性により  $y_1$  を  $y_1'$  と見なす。

要素 I に関して  $(y_1, y_3)$  から  $(y_1, y_2)$  をきめる。

対称性により  $y_4$  を  $y_{4'}$  と見なす

要素 II に関して  $(y_2, y_{4'})$  から  $(y_3, y_4)$  をきめる

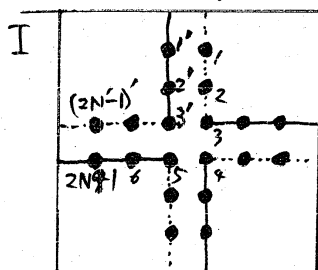
以後これを繰り返すと 加速なしの Schwartz の反復法になら。要素 I と II における操作は、形が同じであるから同じである。ただし、その対象が異なっている。各要素*j*の展開の収束の速さは  $\varepsilon = \left(\frac{r}{r_2}\right)^{\frac{n}{n-2}} = R^{\frac{n}{(2-n)}} = \frac{1}{\left[2 - \left(\frac{n}{n-2}/\left(1+\frac{1}{\varepsilon_n}\right)\right)\right]^2}$

$\sim \frac{1}{\sqrt{2}}$ 、反復法の収束の速さは  $\propto n$ 、取扱う関数の数  $\propto n$  だから、手数  $\propto n^2$  (加速なし)。また各要素における  $(y_1, y_3) \rightarrow (y_1, y_2) = A(y_1, y_3)$  の行列は、対称性から  $\begin{bmatrix} 0 & 0 \\ 0 & 1 \end{bmatrix}$  の形。

例12 同じ問題で要素のとり方を少く考えて、正方形

$$U=1$$

にとつて、左図のようにす。

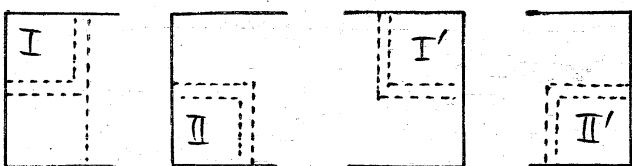


- 代表点は、タテ、ヨコ  $2N+1$  等分の格子点上にの、ている。
- 各要素の操作は、例えれば要素 I では  
点  $1 \sim 2N+1$  上の実数値から  
点  $1' \sim (2N-1)'$  上の複数をきめること

である。級数の収束の速さは  $\varepsilon = \frac{1}{\sqrt{2}}$  は例1と同じで、  
~~か括弧番号~~  $n = \text{点の数} \times 2^{\frac{N+1}{2}} = 8(N+1)+4, \varepsilon^n \div (\frac{1}{2})^{N+1+2}$

実行したのは  $N = 4, 5, \dots, 16 \quad \varepsilon^n \div (4^{35})^{-1} = 10^{-21}$

手順

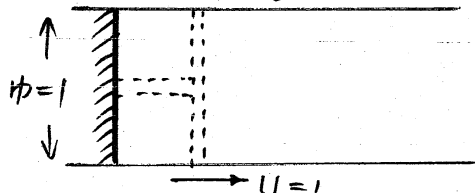


対称性から I' を I, II' を II に帰着、等式は例1と同じ。

例13. (無限領域) ピストンの運動に伴う流れ

$$U=1$$

扇形領域の  $1 \rightarrow (\infty)$  領域は開き

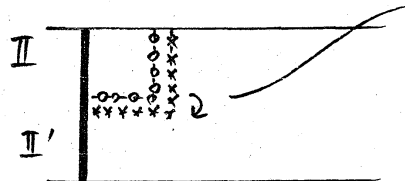
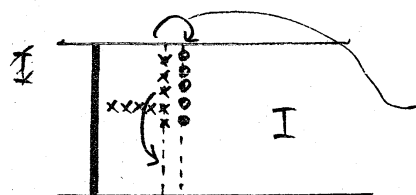


$$\text{角: } \alpha = 0^\circ \quad \varepsilon = \frac{|P_1 - P_0|}{2\alpha} \cong \frac{1}{2}$$

$$\text{従, } \varepsilon = e^{-\frac{|P_1 - P_0|}{2\alpha} n} = e^{-\frac{n}{4}} \\ \cong 10^{-0.25(11)} < \frac{1}{2}$$

従, この部分については直角部分の 2 倍以上速く収束す。

手順

はじめ  $\times$ 印のまゝの値を 0 に仮定

→ 反対符号下半分に延長

領域 I ( $\infty$ 領域) を解いて

0EPの値を決める

反対符号延長

領域 II について解いて

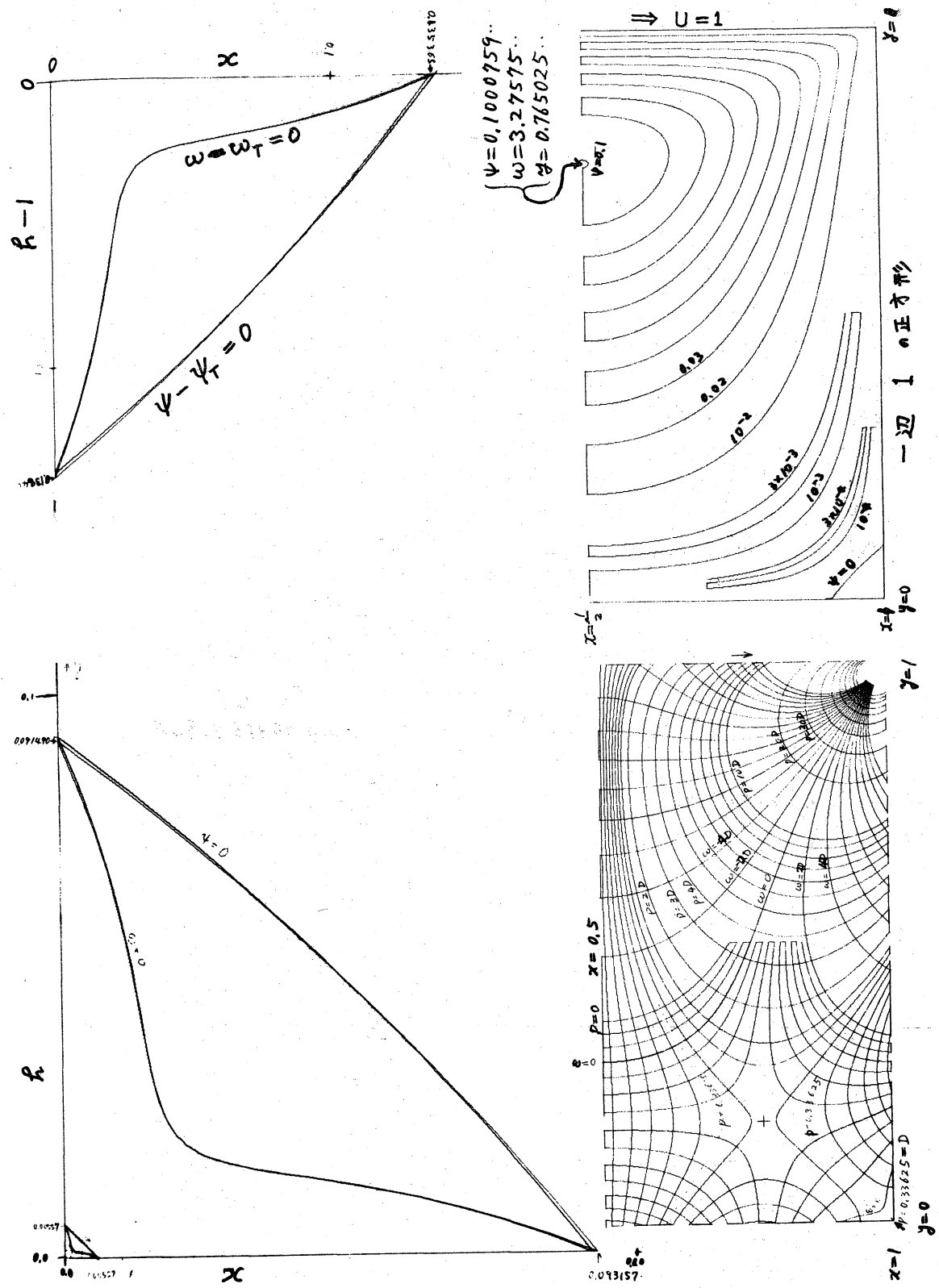
0EP の値を決める

II' は対称性より不要で  
ここで戻る? 反復する。

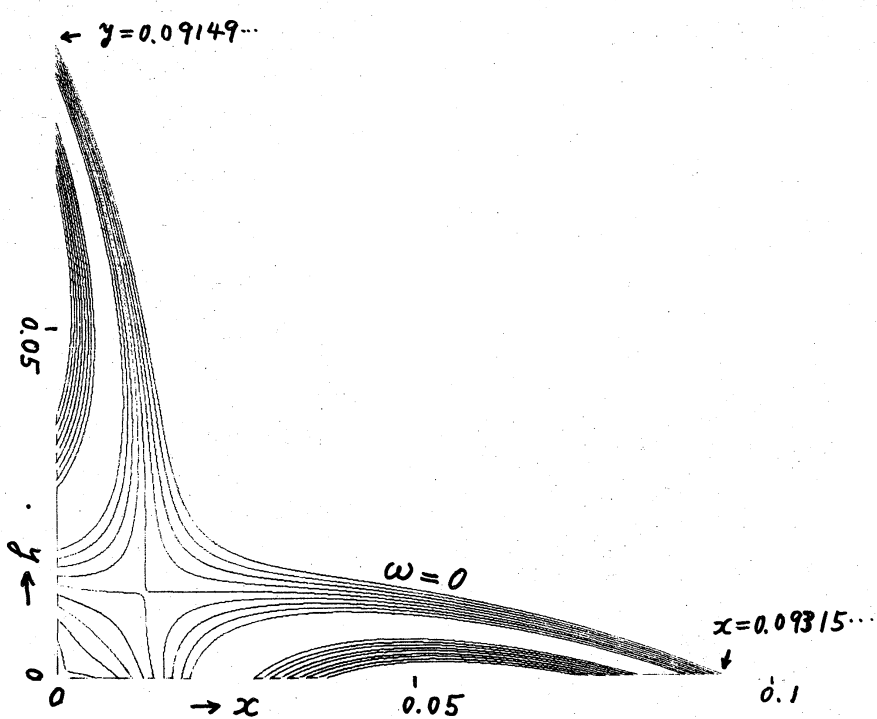
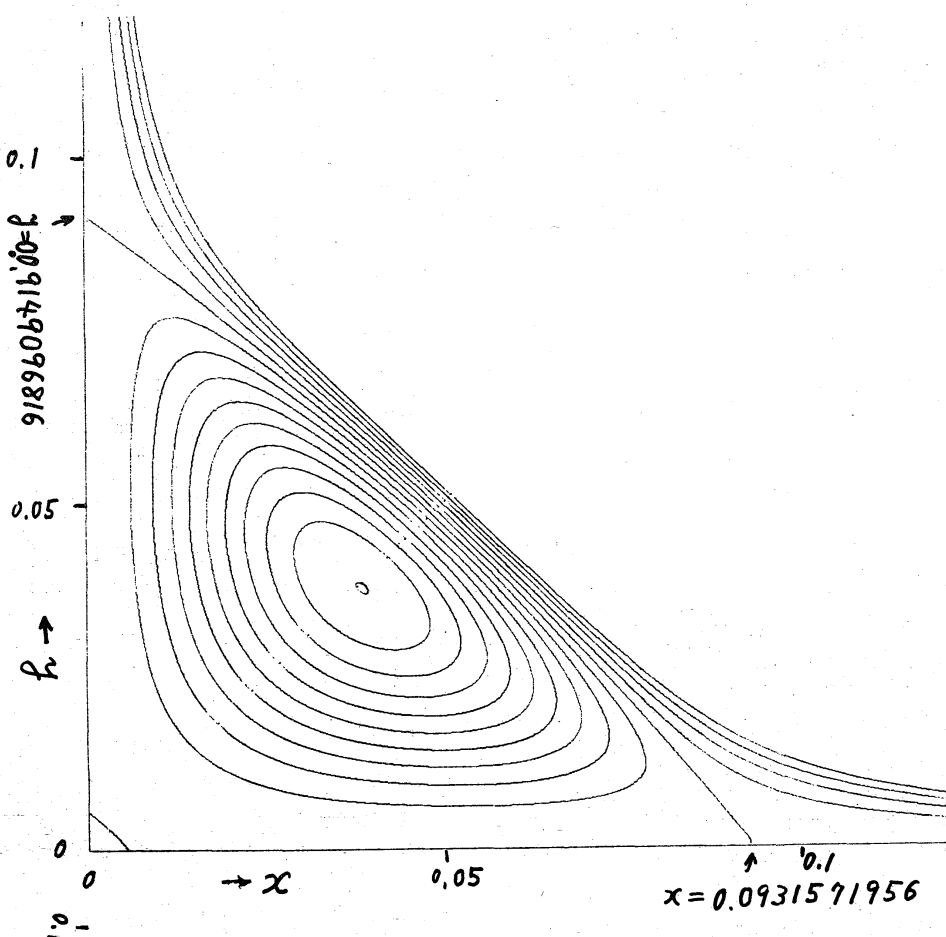
例 2 における結果と 例 2 と 例 3 の代表点の並びに対する誤差の減少していく様子とを次頁にあげておく。

計算時間は FACOM 270-30 で  $N = 16$  のときで 10 分位である。(この機械は HITAC 5020E の約 10 分の 1 の速さで 2 次精度の計算を行う。)

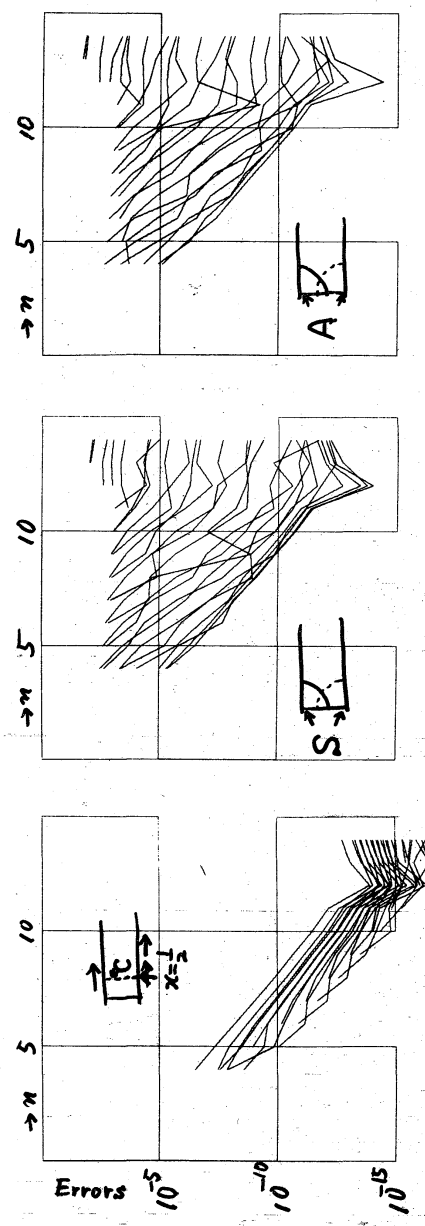
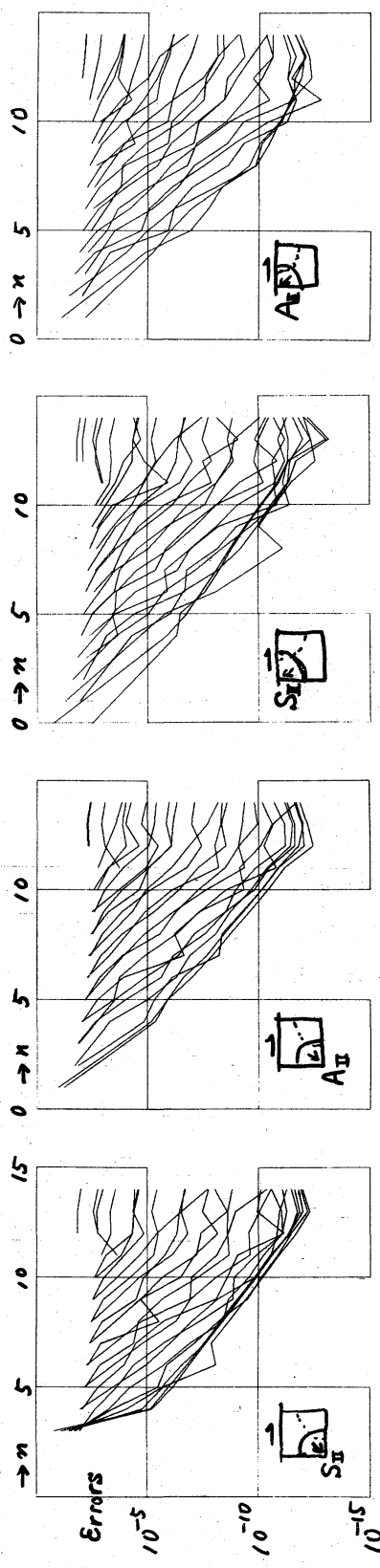
展開係数の誤差のグラフにおいて、 $n \geq 12$  でそれの目立つのは、反復終りの条件が甘かったことと、計算機の表現の桁数の不足から来ているものと思われる。また系列 C のものは、行きがかり上、原点を  $x = \frac{1}{2}$  のところにとってしまうので、非常によいよう見えず(他のぐらべ)が、実際に肉眼で計算されるのが  $x = \frac{1}{2}$  近くである。



44



# 本文の本質



- 上は例2  
下は例3
- すべての展開係数と誤差  $\epsilon$  の関係
- 各折線の左端は  $n = 0$  で真の展開係数 = error を表わしている。

から、これはむしろ実数値への寄与に対する実際の誤差を示しているわけだ、この方法の有効性が現われているといえる。

### 3.6 Moffatt 實数系の完備性

これは、例の“漏斗”が一般に必ず現れるべきことの証明でもな、ていうので、一元やつておく必要があると思われる。

- (i)  $R(\lambda^2) = (\lambda^2 I - T)^{-1}$  において、Resolvent こう。
  - (ii)  $R(\lambda^2)$  は  $\lambda^2$  の有界線形作用素を値とする / 値解析実数
  - (iii) その特異点 (Spectrum) は  $\infty$  点と極  $\lambda_i^2, i=1, 2, \dots$  だけ  
 $\lambda_i$  は  $\lambda \sin 2\alpha \pm i \sin 2\alpha \lambda$  の形で  $0, \pm 1$  を異なもの
- (i), (ii) から  $T$  の spectral set  $\sigma$  (今は  $\{\infty\} \cup \{\lambda_i^2\}$  の性質の部分集合) だけを正の向きにまわる路  $\gamma$  の積分:

$$P(\sigma) = \frac{1}{2\pi i} \oint_{\gamma} R(\lambda^2) d\lambda^2$$

は Projection である。  $P(\sigma)^2 = P(\sigma)$ ,

$$P(\text{空集合}) = 0, P(\sigma) P(\tau) = P(\sigma \wedge \tau).$$

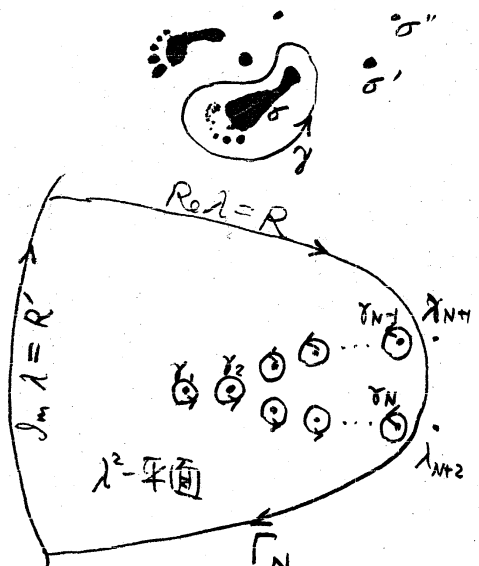
(ii) から Cauchy の積分公式により

$$\frac{1}{2\pi i} \int_{\Gamma_N} R(\lambda^2) d\lambda^2 + \sum_{n=1}^N \frac{1}{2\pi i} \int_{\gamma_n} R(\lambda^2) d\lambda^2 = 0$$

$$\text{即ち} \sum_{n=1}^N P(\lambda_n^2) = - \frac{1}{2\pi i} \int_{\Gamma_N} R(\lambda^2) d\lambda^2$$

$$\text{よって } x = f_n, g_n = \gamma_n z$$

$$- \frac{1}{2\pi i} \int_{\Gamma_N} R(\lambda^2) d\lambda^2 x \rightarrow x, (N \rightarrow \infty) \text{ を示せばよい}$$



$R(\lambda^2)$  は実数で 1 次式。 $f = \begin{bmatrix} f \\ g \end{bmatrix} \rightarrow \begin{bmatrix} \Psi \\ \varphi \end{bmatrix} = R(\lambda^2) f = (\lambda^2 I - T)^{-1} f$   
とすと、

$$\Psi = \Psi(0, \lambda^2) - \Psi_1(0, \lambda) - \Psi_1(0, -\lambda), \quad \Psi_1 = a(\lambda) \cos(\lambda) + b(\lambda) \sin(\lambda) \quad (1)$$

$$\varphi = \varphi(0, \lambda^2) - \varphi_1(0, \lambda) - \varphi_1(0, -\lambda), \quad \varphi_1 = 2(1-\lambda)[a(\lambda) + b(\lambda)] e^{i(1-\lambda)\theta}$$

$$\Psi(0, \lambda^2) = \frac{1}{4} \int_0^\theta \left\{ \frac{\sin((1+\lambda)t)}{\lambda(1+\lambda)} - \frac{\sin((1-\lambda)t)}{\lambda(1-\lambda)} \right\} g(0-t) dt + \int_0^\theta \frac{\sin t}{\lambda} e^{it} f(0-t) dt$$

$$\Phi(0, \lambda^2) = \int_0^\theta \frac{\sin t}{\lambda} e^{-it} g(0-t) dt$$

$$a(\lambda) = \frac{(1+\lambda) \sin(1+\lambda) \alpha \Psi_S(\alpha, \lambda^2) + \cos(1+\lambda) \alpha \Psi'_S(\alpha, \lambda^2)}{\lambda \sin 2\alpha + \sin 2\alpha \lambda}$$

$$b(\lambda) = \frac{(1+\lambda) \cos(1+\lambda) \alpha \Psi_A(\alpha, \lambda^2) - \sin(1+\lambda) \alpha \Psi'_A(\alpha, \lambda^2)}{\lambda \sin 2\alpha - \sin 2\alpha \lambda}$$

$$\Psi_S = \frac{1}{2} (\Psi(0, \lambda^2) + \Psi(-0, \lambda^2)), \quad \Psi_A = \frac{1}{2} (\Psi(0, \lambda^2) - \Psi(-0, \lambda^2))$$

$$\Psi'_S = \frac{\partial}{\partial \alpha} \Psi_S, \quad \Psi'_A = \frac{\partial}{\partial \alpha} \Psi_A$$

$\Psi, \Phi$  が  $\lambda \rightarrow -\lambda$  不変で全平面で正則だから  $\lambda^2$  の整関数

さて  $g_n = \begin{bmatrix} 0 \\ 1 \end{bmatrix} e^{inx}$  の実部:  $x = \begin{bmatrix} 0 \\ \cos nx \end{bmatrix} \mapsto n \in \begin{bmatrix} \Psi \\ \varphi \end{bmatrix} = R(\lambda^2)x$

$$\left( \frac{-1}{2\pi i} \int_{\Gamma_N} R(\lambda^2) d\lambda^2 x \right) の実部 = \frac{-1}{2\pi i} \int_{\Gamma_N} \varphi(\lambda^2) d\lambda^2 の実部 を 131 \pm 12$$

$$\text{示す。 } \frac{1}{2\pi i} \oint_{\Gamma_N} \varphi(0, \lambda^2) d\lambda^2 = \frac{1}{2\pi i} \oint_{\Gamma_N} [\Phi(0, \lambda^2) - \varphi_1(\lambda) - \varphi_1(-\lambda)] d\lambda^2$$

$\Phi(0, \lambda^2)$  は  $\lambda \in \mathbb{R}$  (200 ± 1/2 正則)  $\Rightarrow \oint_{\Gamma_N} = 0$

第2項は

$$\frac{1}{2\pi i} \oint_{\Gamma_N} (\varphi_1(\lambda) + \varphi_1(-\lambda)) d\lambda^2 = \frac{1}{\pi i} \int_{-R}^R (\varphi_1(\lambda) + \varphi_1(-\lambda)) \lambda d\lambda = \frac{1}{\pi i} \int_{-R}^R \varphi_1(\lambda) \lambda d\lambda + \frac{1}{\pi i} \int_{-R}^R \varphi_1(-\lambda) \lambda d\lambda$$

$$= \frac{1}{\pi i} \oint_{\Gamma_N} \varphi_1(\lambda) \lambda d\lambda$$

$$\Psi(\theta, \lambda^2) = \frac{\cos(\lambda+1)\theta}{4\lambda((\lambda+1)^2-\nu^2)} - \frac{\cos(\lambda-1)\theta}{4\lambda((\lambda-1)^2-\nu^2)} - \frac{\cos\nu\theta}{((\lambda+1)^2-\nu^2)((\lambda-1)^2-\nu^2)}$$

$$\Psi_A(\theta, \lambda^2) = \text{odd part of } \Psi(\theta, \lambda^2) = 0$$

$$\Psi_S(\theta, \lambda^2) = \text{even} \quad \cdots \quad = \Psi(\theta, \lambda^2)$$

$$\Psi'_S(\theta, \lambda^2) = \frac{-(\lambda+1)\sin(\lambda+1)\theta}{4\lambda((\lambda+1)^2-\nu^2)} + \frac{(\lambda-1)\sin(\lambda-1)\theta}{4\lambda((\lambda-1)^2-\nu^2)} + \frac{\nu\sin\nu\theta}{((\lambda+1)^2-\nu^2)((\lambda-1)^2-\nu^2)}$$

$$f(\lambda) = 0 \quad \therefore \quad \Psi_A \equiv \Psi'_A \equiv 0$$

$$\begin{aligned} a(\lambda) &= \frac{(\lambda+1)\sin(\lambda+1)\alpha(\cos(\lambda+1)\alpha + \cos(\lambda+1)\alpha(-(\lambda+1)\sin(\lambda+1)\alpha))}{4\lambda((\lambda+1)^2-\nu^2)(\lambda\sin 2\alpha + \sin 2\alpha\lambda)} = 0 \\ &\quad // \frac{-1}{4\lambda((\lambda-1)^2-\nu^2)} \\ &+ \frac{(\lambda+1)\sin(\lambda+1)\alpha(-\cos(\lambda-1)\alpha + \cos(\lambda+1)\alpha((\lambda-1)\sin(\lambda-1)\alpha))}{4\lambda((\lambda-1)^2-\nu^2)(\lambda\sin 2\alpha + \sin 2\alpha\lambda)} \\ &+ \frac{(\lambda+1)\sin(\lambda+1)\alpha(-\cos\nu\alpha + \cos(\lambda+1)\alpha(\sin\nu\alpha))}{((\lambda+1)^2-\nu^2)((\lambda-1)^2-\nu^2)(\lambda\sin 2\alpha + \sin 2\alpha\lambda)} = O\left(\frac{e^{-|\lambda|Im\lambda}}{\lambda^3}\right) \end{aligned}$$

$$\frac{1}{\pi i} \oint \lambda \Psi_1(\lambda) d\lambda = 0 + \frac{1}{\pi i} \oint \frac{2\lambda(\lambda-1)e^{t(\lambda-1)\theta}}{4\lambda((\lambda-1)^2-\nu^2)} d\lambda + \oint O\left(\frac{e^{(|\theta|-\alpha)|Im\lambda|}}{\lambda}\right) d\lambda$$

$$\rightarrow -\cos\nu\theta \quad // \quad Q.E.D. \quad -\cos\nu\theta \quad + \quad O\left(\frac{1}{\lambda}\right), \quad (|\theta| \neq \alpha)$$

$|\theta| = \alpha$  の場合や他の成分についての計算は略すが、必要な道具はこの例でつくされている。

固有値が縮退するとき（重根の場合）

$$i) \quad \alpha = \frac{\pi}{2}, \pi \text{ または } \pi \quad \{ \text{固有関数} \} \text{ の定備系}$$

$$\alpha \rightarrow \frac{\pi}{2}, \pi \text{ のとき } \lambda_{2n} \rightarrow \lambda_{2n+1} \text{ で } \psi_{2n}, \psi_{2n+1}$$

奇偶対称性が反対であるから T の index = 1 のよう。

$$ii) \quad \alpha = \alpha_n \quad (\frac{\pi - 2\alpha_n}{2\alpha_n} = \pm \frac{\pi - \alpha_n^*}{2\alpha_n^*}, \tan 2\alpha_n^* = 2\alpha_n^*) \quad (2\alpha_n^* \div (n+\frac{1}{2})\pi - \frac{1}{(n+\frac{1}{2})\pi})$$

1つだけ固有関数を2つもつのが必要。

§4 と §6 本講究録の今井先生の記述、§6 は Dunford-Schwartz Lin. Op.-I Spectral Theory の章を参照して下さい